

УДК 519.651

О ПОГРЕШНОСТИ ПРИБЛИЖЕНИЯ  
КУБИЧЕСКИМИ ИНТЕРПОЛЯЦИОННЫМИ СПЛАЙНАМИ. III

В.Л. Мирошниченко

В предыдущих работах [1,2] изучался вопрос об оценках погрешности приближения функции  $f(x) \in W^4_{\Delta, \infty}[a, b]$  и ее производных с помощью кубического сплайна  $s(x) \in C^2[a, b]$ , интерполирующего значения  $f_{x_i} = f(x_i)$  в узлах произвольной неравномерной сетки  $\Delta$ :  $a = x_0 < x_1 < \dots < x_N = b$ . При интерполяции периодических функций использовались периодические сплайны, в непериодическом случае в качестве граничных (краевых) условий для сплайна выбирались условия одного из типов:

$$I. s'(x_k) = f'(x_k), k = 0, N;$$

$$II. s''(x_k) = f''(x_k), k = 0, N;$$

$$III. s'''(x_p+0) - s'''(x_p-0) = 0, p = 1, N-1.$$

В данной работе мы изучаем поведение погрешности приближения при более высокой гладкости функции  $f(x)$ .

Для периодических граничных условий и условий типов I, II в [4] в предположении  $f(x) \in C^2 W^4_{\Delta, \infty}[a, b]$  (т.е. когда  $f(x) \in C^2[a, b]$  и  $f(x) \in W^4_{\Delta, \infty}[x_i, x_{i+1}], i = 0, 1, \dots, N-1$ ) получены оценки

$$\|s^{(r)}(x) - f^{(r)}(x)\|_C \leq K_r H^{4-r} \|f^{(r)}\|_{\infty}, \quad r = 0, 1, \dots, 4, \quad (1)$$

где  $K_0 = 5/384$ ,  $K_1 = 1/24$ ,  $H = \max_i h_i$ ,  $h_i = x_{i+1} - x_i$ ,  $i = 0, \dots, N-1$ .  
При этом показано, что в периодическом случае и для граничных ус-

ловий типа П постоянные  $K_r$  в (I) достигаются при всех четных  $N$  на функциях из класса  $W_{\infty}^4[a,b] \subset C^2 W_{\Delta,\infty}^4[a,b]$ . Более того, как доказано в [3], эти постоянные не могут быть уменьшены и при большей гладкости  $f(x)$ , а именно при  $f(x) \in C^k[a,b]$ . Таким образом, оценки (I) по существу являются наилучшими для кубических сплайнов класса  $C^2$  и функций  $f(x)$  из классов  $C^k[a,b]$ ,  $k \geq 4$ .

Однако отмеченное обстоятельство не означает, что оценки (I) не могут быть улучшены для отдельных функций и сеток. В частности, в [4] доказано, что на произвольной неравномерной сетке для сплайнов с граничными условиями типа I (или периодическими, если  $f(x)$  периодическая) и  $f(x) \in C^k[a,b]$  справедливы оценки

$$\|s^{(r)}(x) - f^{(r)}(x)\|_C \leq K_{r,0} H^{4-r} \|f'''\|_C + o(H^{4-r}), \quad r = 0, 1, \quad (2)$$

где  $K_{0,0} = 2/384$ ,  $K_{1,0} = 0,014731$ . Для равномерной сетки эти оценки имеют место при  $r = 0, 1, 2, 3$  с постоянными  $K_{0,0} = 1/384$ ,  $K_{1,0} = \sqrt{3}/216$ ,  $K_{2,0} = 1/12$ ,  $K_{3,0} = 1/2$ .

Такого sorta оценки, в которых выделен главный член погрешности, а остальные слагаемые по сравнению с ним стремятся к нулю при  $H \rightarrow 0$  (либо  $N \rightarrow \infty$ ) с большей скоростью, называются асимптотическими. Естественно, пользоваться этими оценками на практике имеет смысл лишь при достаточно малых  $H$  (достаточно больших  $N$ , если  $H \rightarrow 0$  при  $N \rightarrow \infty$ ), и в этой ситуации они, как показывает сопоставление (2) и (I), существенно точнее характеризуют погрешность приближения в сравнении с неасимптотическими оценками. Несмотря на некоторую неопределенность слов "для достаточно малых  $H$ " случай, когда  $H$  мало, типичен для практических задач, что предопределяет ценность асимптотических оценок. Вообще говоря, при желании, можно конкретизировать смысл этих слов. Например, из результатов [4], касающихся оценки (2), следует, что слагаемое, обозначенное в (2) через  $o(H^{4-r})$ , ограничено величиной  $K_{r,1} H^{5-r} \|f'''\|_\infty$ , где  $K_{0,1} = 1/96$ ,  $K_{1,1} = 1/24$ . Отсюда видно, что при  $K_{r,1} H \|f'''\|_\infty \ll K_{r,0} \|f'''\|_C$  оценка (2) предпочтительнее чем (I).

Выделение главного члена погрешности не всегда дает положительный эффект с точки зрения уменьшения оценки погрешности. Иногда это приводит к противоположному результату.

Пусть  $S(x)$  – кубический интерполяционный сплайн с граничными условиями типа П. Согласно [4, с. 99] для  $N = 1$  и  $x \in [x_0, x_1]$  имеем

$$s(x) = (1-t)f_0 + tf_1 - h^2 t(1-t)[(2-t)f''_0 + (1+t)f''_1]/6,$$

где  $t = (x-x_0)/h_0$ . Для  $f(x) \in W_5^5[x_0, x_1]$ , используя формулу Тейлора, нетрудно получить

$$s^{(r)}(x) = f^{(r)}(x) + \xi^{(r)}(t)h_0^{4-r}f^{IV}(x) + O(h^{5-r}), \quad r=0,1, \quad (3)$$

где  $\xi(t) = -t(1-t)[1+t(1-t)]/24$ . Так как  $\|\xi(t)\|_C = 5/384$  и  $\|\xi'(t)\|_C = 1/24$ , то отсюда приходим к оценкам

$$\|s^{(r)}(x) - f^{(r)}(x)\|_C \leq K_r h_0^{4-r} \|f^{IV}\|_C + O(h^{5-r}), \quad r=0,1. \quad (4)$$

Сравнение соотношений (4) и (1) показывает, что в данном случае выделение главного члена погрешности носит чисто формальный характер и, более того, приводит к загрублению оценки.

Можно показать, что для всех  $N > 1$  главный член в асимптотических оценках для сплайнсов с граничными условиями типа II' меньше правой части (1). Однако в любом случае эта оценка будет хуже, чем (2). Этим обстоятельством объясняется, в частности, высказанное в [4] суждение о том, что граничные условия типа I предпочтительнее условий типа П.

Аналогичная ситуация имеет место для граничных условий типа IV, для которых выделение главного члена при  $N = 3$  приводит к загрублению оценки [5], а эффект, достигаемый при  $N > 3$ , неизвестен по сравнению с неасимптотическими оценками, полученными в [2].

Наиболее полные результаты относительно асимптотики погрешности приближения кубическими сплайнами имеются для периодического случая, когда сетка  $\Delta$  равномерная с шагом  $h = (b-a)/N$ . Описанная в [4] методика позволяет легко найти в явном виде не только главный член погрешности, но и любое наперед заданное количество членов асимптотического разложения погрешности по степеням  $h$  (в предположении достаточной гладкости функции  $f(x)$ ). В частности, при  $x \in [x_i, x_{i+1}]$  имеет место соотношение

$$s(x) = f(x) + \varphi(t)h^4 f^{IV}(x) + \psi(t)h^5 f^V(x) + O(h^6), \quad (5)$$

где  $\varphi(t) = -u^2/24$ ,  $\psi(t) = -u(1-2t)(1+3u)/180$ ,  $t = (x-x_i)/h$ ,  $u = t(1-t)$ .

Выражения для  $s^{(r)}(x)$ ,  $r = 1, 2, 3$  получаются из (5) дифференцированием по  $x$ . Отметим, что упомянутая методика с успехом была использована при исследовании асимптотики периодических сплайн-

нов произвольной степени [6,7].

Существенно менее детально изучена асимптотика погрешности кубическими сплайнами на равномерной сетке в непериодическом случае. Здесь известны результаты только для отдельных типов краевых условий. Так, в [4, теорема 3.8] для сплайнов с краевыми условиями типа I получено соотношение

$$s^{(r)}(x) = f^{(r)}(x) + \varphi^{(r)}(t)h^{4-r}f''''(x) + O(h^{5-r}), \quad r=0,1,2,3, \quad (6)$$

$$x \in [x_i, x_{i+1}], \quad i=0, \dots, N-1.$$

Отметим, что главные члены погрешности в (5) и (6) совпадают. Можно указать ряд других краевых условий, обладающих этим свойством [4, с. 231; 8]. Однако в общем случае главный член погрешности зависит не только от типа краевых условий, но и от номера рассматриваемого промежутка -  $i$  и от количества промежутков -  $N$ . В этом основная трудность исследования асимптотики в непериодическом случае.

Интересно, что соотношение вида (6) справедливо для некоторых неравномерных сеток. Следующие два утверждения фактически содержатся в [4, с. 127, 130], хотя и не сформулированы там в явном виде.

**ТЕОРЕМА 4\*).** Пусть кубический сплайн  $s(x)$  интерполирует функцию  $f(x) \in W_0^5[a,b]$  на сетке  $\Delta$ , такой, что  $|h_i - h_{i-1}| = O(N^2)$ ,  $i = 1, \dots, N$ . Если  $s(x)$  периодический или удовлетворяет краевым условиям типа I, то на каждом промежутке  $[x_i, x_{i+1}]$ ,  $i = 0, \dots, N-1$ , справедливо соотношение

$$s^{(r)}(x) = f^{(r)}(x) + \varphi^{(r)}(t)h_i^{4-r}f''''(x) + O(h^{5-r}), \quad r=0,1,2. \quad (7)$$

**ТЕОРЕМА 5.** Пусть кубический сплайн  $s(x)$  интерполирует функцию  $f(x) \in W_0^5[a,b]$  на сетке  $\Delta$  и промежутки  $[x_k, x_{k+1}]$ ,  $k = 1-1, 1, i+1; 1 \leq i \leq N-2$ , таковы, что  $h_{i-1} = \gamma_1 h_i$ ,  $h_{i+1} = \gamma_2 h_i$ , где  $\gamma_1 = O(N^3)$ ,  $\gamma_2 = O(N^3)$ . Если  $s(x)$  пе-

\* Нумерация теорем и лемм в данной статье является продолжением нумерации из работ [1, 2].

риодический или удовлетворяет краевым условиям одного из типов I, II, III, то при  $x \in [x_i, x_{i+1}]$  имеет место соотношение

$$s^{(r)}(x) = f^{(r)}(x) + \varphi^{(r)}(t)h_1^{4-r}f''(x) + h_1^{2-r}O(h^k), \quad r=0,1,2. \quad (8)$$

Если  $f(x) \in W_0^6[a,b]$  и  $\gamma_1 = O(h^k)$ ,  $\gamma_2 = O(h^k)$ , то

$$\begin{aligned} s^{(r)}(x) &= f^{(r)}(x) + \varphi^{(r)}(t)h_1^{4-r}f''(x) + \\ &+ [r\varphi^{(r-1)}(t) + \varphi^{(r)}(t)]h_1^{5-r}f'''(x) + h_1^{2-r}O(h^k), \\ x &\in [x_i, x_{i+1}], \quad r = 0,1,2, \end{aligned}$$

где  $\varphi_H(t) = -t^2(1-t)^2(1-2t)/60$ .

Из теорем 4 и 5 вытекает

**СЛЕДСТВИЕ.** При выполнении условий теоремы 4 или теоремы 5 справедливы оценки

$$\begin{aligned} |s^{(r)}(x) - f^{(r)}(x)| &\leq K_{r,0}h_1^{4-r}\|f''\|_C + O(h^{5-r}), \\ r &= 0,1,2; \quad x \in [x_i, x_{i+1}], \end{aligned}$$

где  $K_{0,0} = 1/384$ ,  $K_{1,0} = \sqrt{3}/216$ ,  $K_{2,0} = 1/12$ .

Главная цель настоящей статьи – построение алгоритма нахождения асимптотики погрешности кубических интерполяционных сплайнов на равномерной сетке с граничными условиями общего вида. В начале, в § 1 излагается необходимый вспомогательный материал об обращении некоторых трехдиагональных матриц. Приведенные здесь выражения для элементов обратной матрицы представляют собой значительно упрощенные формулы из [9]. В качестве "побочного" результата дается простой критерий невырожденности трехдиагональных матриц, который позволяет легко формулировать необходимые и достаточные условия существования и единственности различных сплайнов на равномерной сетке: кубических, параболических и др. В § 2 доказывается теорема об асимптотическом представлении решения некоторых систем с ленточными матрицами.

Далее, в § 3 описывается алгоритм построения асимптотики погрешности для кубических сплайнов класса  $C^2$ . Помимо упомянутых выше граничных условий типов I, II, III рассматривается ряд других ус-

ловий. В отличие от [4] под граничными условиями типа III будем понимать условия вида:

$$III. \quad s''(x_0+0) = f''(x_0), \quad s''(x_N-0) = f''(x_N).$$

Обсуждаются два типа "плохих", с точки зрения точности приближения, условий:

$$\Pi^0. \quad s''(x_0) = s''(x_N) = 0.$$

$$III^0. \quad s''(x_0+0) = s''(x_N-0) = 0.$$

Условия  $\Pi^0$  известны под названием "естественные". При выполнении условий  $III^0$  кубический сплайн на отрезках  $[x_0, x_1], [x_{N-1}, x_N]$  будет многочленом второй степени. В [10] эти условия называются параболическим выходом.

В практических задачах, как правило, трудно использовать граничные условия типов I, II, III, требующих задания производных функции  $f(x)$  на концах отрезка  $[a, b]$ . Часто эти производные заменяют разностными аппроксимациями. Для того чтобы сохранить порядки в оценках приближения, нужно использовать по меньшей мере четырехточечные аппроксимации. Обозначим через  $L_j(x)$  полином Лагранжа третьей степени, интерполирующий значения  $f_k$  в узлах  $x_k$ ,  $k = j, j+1, j+2, j+3$ . Тогда граничные условия, основанные на четырехточечной аппроксимации производных, имеют вид:

$$I'. \quad s'(x_0) = L_0'(x_0), \quad s'(x_N) = L_{N-3}'(x_N);$$

$$\Pi'. \quad s''(x_0) = L_0''(x_0), \quad s''(x_N) = L_{N-3}''(x_N);$$

$$III'. \quad s'''(x_0+0) = L_0'''(x_0), \quad s'''(x_N-0) = L_{N-3}'''(x_N).$$

Отметим, что условия  $III'$  были предложены в [11]. Минимальное число узлов, при котором можно использовать условия I',  $\Pi'$ ,  $III'$ , очевидно равно четырем ( $N = 3$ ). По этому признаку к этой группе граничных условий можно отнести и условия типа IV, тем более, что при  $N = 3$  все они дают один и тот же сплайн – полином Лагранжа  $L_0(x)$ .

В [12] для граничных условий

$$s'(x_0) + \alpha s'(x_1) = L_0'(x_0) + \alpha L_0'(x_1),$$

$$\alpha s''(x_{N-1}) + s''(x_N) = \alpha L_{N-3}''(x_{N-1}) + L_{N-3}''(x_N)$$

(нетрудно показать, что среди них содержатся условия I°, П°, Ш°, ИУ) найдено оптимальное, с точки зрения минимизации главного члена погрешности, значение параметра  $\alpha = 3$ . В этом случае условия записываются в виде:

$$V \cdot S'(x_0) + 3S'(x_1) = \frac{1}{6h} (-17f_0 + 9f_1 + 9f_2 - f_3),$$

$$3S'(x_{N-1}) + S'(x_N) = \frac{1}{6h} (f_{N-3} - 9f_{N-2} - 9f_{N-1} + 17f_N).$$

Главный член погрешности для сплайна с граничными условиями типа V совпадает с главным членом для сплайна с условиями I (6). Несмотря на то, что правые части соотношений V содержат по четыре значения функции, использовать эти условия можно только при  $N \geq 4$ , так как в случае  $N = 3$  матрица системы для определения параметров сплайна вырождена.

При  $N \geq 4$  можно рассматривать также граничные условия

$$I''. S'(x_0) = \tilde{L}_0^5(x_0), S'(x_N) = \tilde{L}_{N-4}^5(x_N),$$

где  $\tilde{L}_j^5(x)$  – интерполяционный полином Лагранжа пятой степени с узлами  $x_k$ ,  $k = j, j+1, \dots, j+4$ . Интересно отметить, что при  $N = 4$  (пять узлов интерполяции) сплайны с оптимальными граничными условиями V и условиями типа I'' совпадают.

Дадим общую характеристику полученных асимптотических формул. При  $f(x) \in W_5^5[a, b]$  для всех типов краевых условий, за исключением условий П° и Ш°, имеют место соотношения

$$S(x) = f(x) + \varphi_{1,N}(t)h^5 f^{IV}(x) + O(h^5), \quad x \in [x_i, x_{i+1}], \quad (9)$$

$$i = 0, 1, \dots, N-1,$$

причем  $\varphi_{N-i-1,N}(t) = \varphi_{1,N}(1-t)$ . Функции  $\varphi_{1,N}(t)$  зависят от типа граничных условий, но при удалении отрезка  $[x_i, x_{i+1}]$  от концов промежутка  $[a, b]$  они быстро стремятся к 0 (т.е. из (6)), что позволяет ограничиться их исследованием при сравнительно небольших значениях  $i$  для окрестности точки  $a$  ( $N-i$  для окрестности точки  $b$ ). Если обозначить  $\varphi_{1,\infty}(t) = \lim_{N \rightarrow \infty} \varphi_{1,N}(t)$  для  $i < N/2$ , то при достаточно больших  $N$  (как показывают несложные оценки, практически уже для  $N > 10$ ) вместо (9) вблизи левого конца промежутка  $[a, b]$  (т.е. при малых  $i$ ) можно полагать:

$$s(x) = f(x) + \varphi_{1\infty}(t)h^4 f''(x) + O(h^5), \quad x \in [x_i, x_{i+1}], \quad (10)$$

Легко видеть, что отсюда можно получить формулу для  $i$ , близких к  $N$  (т.е. для малых  $N-i$ ), если заменить  $t$  на  $1-t$ .

Если сплайн удовлетворяет граничным условиям I, V или I'', то  $\varphi_{1N}(t) = \varphi_{1\infty}(t) = \psi(t)$ ,  $i = 0, \dots, N-1$ . Поэтому в этих случаях, с целью выяснения различий в поведении погрешности приближения, мы выписываем два члена асимптотики. В результате для граничных условий I, V, I'' получаем

$$s(x) = f(x) + \psi(t)h^4 f''(x) + \psi_{1N}(t)h^5 f'''(x) + O(h^6), \quad (11)$$

$$x \in [x_i, x_{i+1}], \quad i=0, \dots, N-1,$$

где  $f(x) \in W_6^6[a, b]$ . Для больших  $N$  можно заменить  $\psi_{1N}(t)$  на  $\varphi_{1\infty}(t) = \lim_{N \rightarrow \infty} \psi_{1N}(t)$  при  $i < N/2$ .

Для граничных условий П<sup>0</sup>, Ш<sup>0</sup> имеем

$$s(x) = f(x) + v_{1N}(t)h^2 f''(x) + \eta_{1N}(t)h^3 f'''(x) + O(h^4), \quad (12)$$

$$x \in [x_i, x_{i+1}], \quad i=0, \dots, N-1,$$

причем  $v_{1N}(t) \equiv 0$ ,  $i = 0, \dots, N-1$ , когда сплайн удовлетворяет условиям типа Ш<sup>0</sup>.

На основе анализа асимптотических представлений погрешности при различных краевых условиях можно сделать следующие выводы. Среди граничных условий I, П, Ш, использующих точные значения производных, наилучшие результаты дают условия типа I и наихудшие типа Ш. При четырехточечной аппроксимации производных (условия I', П', Ш') наихудшими являются условия типа I'', а наилучшими - типа Ш''. Условия типа IУ лучше условий Ш'', но хуже условий типа I. Сплайны с граничными условиями типов V и I'' очень мало различаются между собой, т.е., на самом деле, условия I'' столь же "оптимальные", как и условия V. Для больших  $N$  и условия V, и условия I'' обеспечивают такую же точность приближения, как условия типа I. Самую большую погрешность приближения имеют сплайны с граничными условиями типа П<sup>0</sup>. Немногим лучше условия Ш<sup>0</sup>. Аналогичные выводы могут быть получены при анализе погрешности приближения производных. Соответствующие асимптотические формулы вытекают из (9)-(12) в результате дифференцирования по  $x$ . Таким образом, наибольший практический интерес представляют краевые условия I, IУ, V, I''.

Мы всюду предполагаем, что на обоих концах отрезка  $[a, b]$  краевые условия имеют одинаковый вид. Однако на практике нередко приходится задавать различные по типу условия в точках  $a$  и  $b$ . Пусть, например, в точке  $a$  задано условие типа I, т.е.  $s'(a) = f'_0$ , а в точке  $b$  любое из рассмотренных выше условий. Тогда, используя результаты § I, нетрудно показать, что при большом  $N$  вблизи точки  $a$  будут верны соотношения (6). Следовательно, поведение погрешности в окрестности  $a$  при большом числе узлов интерполяции определяется только граничным условием в этой точке. Этот вывод справедлив при любой комбинации перечисленных краевых условий.

Предложенный метод получения асимптотического представления погрешности приближения пригоден не только для кубических сплайнов, но и для многих других типов сплайнов, построение которых может быть сведено к решению систем с трехдиагональными матрицами.

### § I. О решении некоторых трехдиагональных систем

Пусть  $A_N = (N+1) \times (N+1)$ -матрица вида

$$A_N = \begin{bmatrix} a & \alpha & & & 0 \\ 1 & a & 1 & & \\ & \diagdown & \diagdown & \diagdown & \\ & 1 & a & 1 & \\ 0 & & & \beta & a \end{bmatrix},$$

где  $a, \alpha, \beta$  – заданные числа, причем  $|a| > 2$ . В [9] при более слабых ограничениях на величину  $a$  получены необходимые и достаточные условия невырожденности  $A_N$  и найдены элементы обратной матрицы  $A_N^{-1} = [a_{ij}]$ . Однако при  $|a| > 2$  эти результаты можно существенно упростить. Действительно, вводя поправку на то, что в [9] размерность матрицы  $A_N$  считается равной  $N \times N$ , имеем

$$\left. \begin{aligned} a_{10} &= (a_1[1+a_1(\beta-2)] + a_{N-1}[a_0 + a_2(1-\beta)])/\tilde{Q}, \\ a_{1N} &= (a_{N-1}[1+a_1(\alpha-2)] + a_1[a_0+a_2(1-\alpha)])/\tilde{Q}. \end{aligned} \right\} \quad (13)$$

$$i = 0, 1, \dots, N,$$

$$\begin{aligned} a_{1j} &= a_{10}[a_{N-j+2}(1-\alpha)+a_{N-j}] + a_{1N}[a_{N-j+1} + \\ &+ a_{N-j-1}(1-\beta)] + a_{N+1-j+1}, \quad i=0, \dots, N; j=1, \dots, N-1, \end{aligned} \quad (14)$$

где

$$\tilde{Q} = [1+a_1(\alpha-2)][1+a_1(\beta-2)] - [a_0+a_2(1-\alpha)][a_0 + a_2(1-\beta)], \quad (15)$$

$$a_i = \frac{\sigma^i + \sigma^{N-i+1}}{(a+2\sigma)(1-\sigma^{N+1})}, \quad i = 0, 1, \dots, N; \quad a_{N+k+1} = a_k, \quad (16)$$

$\sigma = \sigma(a)$  – минимальный по модулю корень уравнения  $\sigma^2 + a\sigma + 1 = 0$ , т.е.

$$\sigma = [-a + \sqrt{a^2 - 4}] \operatorname{sgn}(a)/2, \quad |\sigma| < 1. \quad (17)$$

Подставляя выражения для  $a_i$  в (13)–(15) и выполняя тождественные преобразования, нетрудно получить

$$\left. \begin{array}{l} a_{10} = \sigma^i [a + \beta\sigma - \sigma^{2N-2i-1}(\beta + a\sigma)]/Q, \\ a_{1N} = \sigma^{N-i} [a + \alpha\sigma - \sigma^{2i-1}(\alpha + a\sigma)]/Q, \end{array} \right\} \quad i = 0, \dots, N, \quad (18)$$

$$Q = (a+\alpha\sigma)(a+\beta\sigma) - \sigma^{2N-2}(\alpha+a\sigma)(\beta+a\sigma), \quad (19)$$

$$a_{1j} = \frac{\sigma^{j-1}}{Q(a+2\sigma)} [a + \alpha\sigma - (\alpha + a\sigma)\sigma^{2j-1}] [a + \beta\sigma - (\beta + a\sigma)\sigma^{2N-2j-1}], \quad (20)$$

$$0 \leq i \leq j \leq N-1;$$

$$a_{1j} = \frac{\sigma^{i-j}}{Q(a+2\sigma)} [a + \alpha\sigma - (\alpha + a\sigma)\sigma^{2j-1}] [a + \beta\sigma - (\beta + a\sigma)\sigma^{2N-2i-1}], \quad (21)$$

$$0 < j \leq i \leq N.$$

Очевидно, условием корректности формул (18), (20), (21) и одновременно условием невырожденности  $A_N$  является предположение  $Q \neq 0$ . Таким образом, справедлива

ТЕОРЕМА 6. Если  $|a| > 2$ , то  $|A_N| \neq 0$  тогда и только тогда, когда

$$Q = (a+\alpha\sigma)(a+\beta\sigma) - \sigma^{2N-2}(\alpha+a\sigma)(\beta+a\sigma) \neq 0, \quad (22)$$

где  $\sigma$  определено формулой (17).

При  $\alpha = \beta$  условие (22) эквивалентно условиям:

$$\left. \begin{array}{l} \alpha \neq \pm a, \text{ если } N=1; \\ \alpha \neq a^2/2, \text{ если } N=2; \end{array} \right\} \quad (23)$$

$$\left. \begin{array}{l} \alpha \neq \frac{-a(1+\sigma^N)}{\sigma \pm \sigma^{N-1}}, \text{ если } N > 2. \\ \end{array} \right\} \quad (23)$$

Легко видеть, что  $|A_N| \neq 0$  для всех достаточно больших  $N \geq N_0(\sigma)$ , если выполнены условия  $\alpha \neq -a/\sigma$ ,  $\beta \neq -a/\sigma$ .

Из теоремы 6, в частности, тривиальным образом получаются необходимые и достаточные условия существования и единственности интерполяционных кубических и параболических сплайнов на равномерной сетке. Так, нахождение параметров  $m_i = S'(x_i)$ ,  $i = 0, \dots, N$ , кубического сплайна  $S(x)$  с краевыми условиями общего вида сводится к решению системы

$$\left. \begin{array}{l} 4m_0 + \alpha m_1 = c_0, \\ m_{i-1} + 4m_i + m_{i+1} = c_i, \quad i = 1, \dots, N-1, \\ \beta m_{N-1} + 4m_N = c_N. \end{array} \right\}$$

Согласно теореме 6 условиями ее разрешимости будут соотношения (22), (23), где следует положить  $a = 4$ ,  $\sigma = -2 + \sqrt{3}$  (для больших  $N$  достаточно потребовать  $\alpha \neq 4(2 + \sqrt{3})$ ,  $\beta \neq 4(2 + \sqrt{3})$ ).

Аналогично коэффициенты  $\tilde{m}_i = S''(x_i)$  параболического сплайна  $S_2(x)$  [13] определяются из системы вида

$$\left. \begin{array}{l} 6\tilde{m}_0 + \alpha \tilde{m}_1 = d_0, \\ \tilde{m}_{i-1} + 6\tilde{m}_i + \tilde{m}_{i+1} = d_i, \quad i = 1, \dots, N-1, \\ \beta \tilde{m}_{N-1} + 6\tilde{m}_N = d_N. \end{array} \right\}$$

Она разрешима при выполнении условий (22), (23), где нужно положить  $a = 6$ ,  $\sigma = -3 + 2\sqrt{2}$  (для больших  $N$  достаточно, чтобы  $\alpha \neq 6(3 + 2\sqrt{2})$ ,  $\beta \neq 6(3 + 2\sqrt{2})$ ).

В дальнейшем нам потребуются результаты о решении систем вида

$$\left. \begin{array}{l} az_0 + \alpha z_1 = A, \\ z_{i-1} + az_i + z_{i+1} = C, \quad i = 1, \dots, N-1, \\ \beta z_{N-1} + az_N = B. \end{array} \right\} \quad (24)$$

**ЛЕММА 6.** Пусть для системы (24) выполнены условия  $|a| > 2$ ,  $Q \neq 0$ . Тогда

$$z_i = \frac{c}{a+2} + a_{10} \left[ A - \frac{(a+\alpha)c}{a+2} \right] + a_{1N} \left[ B - \frac{(a+\beta)c}{a+2} \right], \quad (25)$$

$i = 0, 1, \dots, N.$

Если  $\alpha = \beta$  и  $A = B$ , то

$$z_i = \frac{c}{a+2} + \left[ A - \frac{(a+\alpha)c}{a+2} \right] \cdot \frac{\sigma^i + \sigma^{N-i}}{a+\alpha\sigma + \sigma^{N-i}(\alpha+a\sigma)}, \quad i=0, \dots, N. \quad (26)$$

Если  $\alpha = \beta$  и  $B = -A$ , то

$$z_i = \frac{c}{a+2} \left[ 1 - \frac{(a+\alpha)(\sigma^i + \sigma^{N-i})}{a+\alpha\sigma + \sigma^{N-i}(\alpha+a\sigma)} \right] + \frac{A(\sigma^i - \sigma^{N-i})}{a+\alpha\sigma - \sigma^{N-i}(\alpha+a\sigma)}, \quad (27)$$

$i = 0, \dots, N.$

ДОКАЗАТЕЛЬСТВО. Сделаем в системе (24) замену  $z_1 = c/(a+2) + \delta_i$ ,  $i = 0, 1, \dots, N$ . Тогда

$$\begin{aligned} a\delta_0 + \alpha\delta_1 &= \tilde{A}, \\ \delta_{i-1} + a\delta_i + \delta_{i+1} &= 0, \quad i=1, \dots, N-1, \\ \beta\delta_{N-1} + a\delta_N &= \tilde{B}, \end{aligned} \quad \left. \right\}$$

где  $\tilde{A} = A - c(a+\alpha)/(a+2)$ ,  $\tilde{B} = B - c(a+\beta)/(a+2)$ . Очевидно, решение этой системы имеет вид  $\delta_i = a_{10}\tilde{A} + a_{1N}\tilde{B}$ ,  $i = 0, \dots, N$ . Учитывая связь неизвестных  $z_i$  и  $\delta_i$ , получаем (25). Формулы (26), (27) вытекают из (25) в результате элементарных преобразований.

## § 2. Асимптотическое представление решения системы с ленточной матрицей

В качестве нормы вектора  $\bar{z} = (z_0, z_1, \dots, z_N)^T$  будем рассматривать величину  $\|z\| = \max_i |z_i|$ . Согласованная с ней норма матрицы  $A = [a_{ij}]$ ,  $i, j = 0, \dots, N$ , определяется равенством  $\|A\| = \max_i \sum_j |a_{ij}|$ . Матрицу  $A$  будем называть  $(2m+1)$ -диагональной, если  $a_{ij} = 0$  при  $|i-j| > m$ . Обозначим  $r_i^{(k)} = r^{(k)}(x_i)$ , где  $x_i = a + (i-1)h$ ,  $i = 0, \dots, N$ ;  $h = (b-a)/N$ .

ТЕОРЕМА 7. Пусть в системе

$$A\bar{z} = \bar{d} \quad (28)$$

с невырожденной  $(2m+1)$ -диагональной

матрицей  $A = [a_{ij}]$ ,  $i, j = 0, 1, \dots, N$ , компоненты правой части имеют вид

$$d_i = \sum_{s=0}^p c_{is} h^{k+s} f_i^{(n+s)} + e_i, \quad i = 0, 1, \dots, N, \quad (29)$$

причем  $e_i = O(h^{k+p+1})$ . Если  $\|\bar{c}_s\|$ ,  $s = 0, \dots, p$ ;  $\|A\|$ ,  $\|A^{-1}\|$ , где  $\bar{c}_s = (c_{0s}, c_{1s}, \dots, c_{Ns})^T$ , ограничены величинами, не зависящими от  $N$  и  $f(x) \in W_\infty^{n+p+1}[a, b]$ , то

$$z_i = \sum_{s=0}^p \alpha_{is} h^{k+s} f_i^{(n+s)} + O(h^{k+p+1}), \quad i = 0, 1, \dots, N, \quad (30)$$

где коэффициенты  $\alpha_{is}$  определяются соотношениями

$$\sum_j a_{ij} \alpha_{j0} = c_{i0}, \quad i = 0, 1, \dots, N; \quad (31.0)$$

$$\sum_j a_{ij} \alpha_{j1} = c_{i1} - \sum_j a_{ij} \alpha_{j0}(j-1), \quad i = 0, 1, \dots, N; \quad (31.1)$$

$$\dots \dots \dots$$

$$\sum_j a_{ij} \alpha_{jp} = c_{ip} - \sum_j a_{ij} \left\{ \alpha_{j0} \frac{(j-1)^p}{p!} + \alpha_{j1} \frac{(j-1)^{p-1}}{(p-1)!} + \dots + \alpha_{jp-1} (j-1) \right\}, \quad i = 0, 1, \dots, N. \quad (31.p)$$

ДОКАЗАТЕЛЬСТВО. Каждое из соотношений (31) представляет собой систему уравнений с матрицей  $A$ . Последовательно решая их, можно вычислить все коэффициенты  $\alpha_{is}$ : сначала  $\bar{\alpha}_0 = (\alpha_{00}, \dots, \alpha_{N0})^T$ , затем  $\bar{\alpha}_1 = (\alpha_{01}, \dots, \alpha_{N1})^T$  и т.д. Отметим также, что из неравенств

$$\|\bar{\alpha}_0\| \leq \|A^{-1}\| \|\bar{c}_0\|,$$

$$\|\bar{\alpha}_1\| \leq \|A^{-1}\| (\|\bar{c}_1\| + \|A\| \|\bar{\alpha}_0\|),$$

$$\dots \dots \dots$$

$$\|\bar{\alpha}_p\| \leq \|A^{-1}\| \left\{ \|\bar{c}_p\| + \|A\| \left( \frac{m^p}{p!} \|\bar{\alpha}_0\| + \frac{m^{p-1}}{(p-1)!} \|\bar{\alpha}_1\| + \dots + m \|\bar{\alpha}_{p-1}\| \right) \right\},$$

очевидным образом вытекающих из (3I), следует ограниченность норм векторов  $\bar{\alpha}_s = (\alpha_{0s}, \dots, \alpha_{Ns})^T$  константами, независящими от  $N$ .

Чтобы не загромождать изложение, мы проведем дальнейшие рассуждения для случая  $p = I$ . Обозначим

$$z_i^0 = \alpha_{10} h^{k+1} f_i^{(n)} + \alpha_{11} h^{k+2} f_i^{(n+1)}, \quad i=0, \dots, N,$$

где  $\alpha_{10}, \alpha_{11}$  удовлетворяют условиям (3I). Подставляя величины  $z_i^0$  вместо  $z_i$  в левую часть системы (28), используя формулу Тейлора и учитывая (3I.0), (3I.1), имеем

$$\begin{aligned} \sum_j a_{1j} z_j^0 &= \sum_j a_{1j} \alpha_{10} h^k [f_i^{(n)} + (j-1)hf_i^{(n+1)} + R_{1j0}] + \\ &+ \sum_j a_{1j} \alpha_{11} h^{k+1} [f_i^{(n+1)} + R_{1j1}] = \\ &= c_{10} h^{k+1} f_i^{(n)} + c_{11} h^{k+2} f_i^{(n+1)} + \delta_i = d_i - e_i + \delta_i, \end{aligned} \quad (32)$$

где  $\delta_i = h^k (\sum_j a_{1j} \alpha_{10} R_{1j0} + h \sum_j a_{1j} \alpha_{11} R_{1j1})$ . Очевидно,  $|R_{1j0}| \leq \frac{\pi^2}{2h^2} \|f\|_{\infty}^{(n+2)}$ ,  $|R_{1j1}| \leq mh \|f\|_{\infty}^{(n+2)}$ . Поэтому  $|\delta_i| = O(h^{k+2})$ .

Из (28) и (32) получаем  $A(\bar{z} - \bar{z}^0) = 2\bar{e} - \bar{\delta}$ . Отсюда

$$\|\bar{z} - \bar{z}^0\| \leq \|A^{-1}\| (2\|\bar{e}\| + \|\bar{\delta}\|) = O(h^{k+2}),$$

т.е.  $z_i = z_i^0 + O(h^{k+2})$ , что и требовалось показать.

Отметим, что доказанную теорему можно интерпретировать как обоснование метода неопределенных коэффициентов для нахождения решения системы (28) в виде асимптотического разложения (30).

### § 3. Асимптотическое представление погрешности приближения кубическим сплайнам класса $C^2$ на равномерной сетке

Всюду в дальнейшем узлы  $x_i$  сетки  $\Delta$  предполагаются равномерно расположеными с шагом  $h = (b-a)/N$ , т.е.  $x_i = a + (i-1)h, i=0, \dots, N$ . Функция  $f(x)$  считается дифференцируемой нужное число раз.

Кубический интерполяционный сплайн  $s(x)$  класса  $C^2$  записывается при  $x \in [x_i, x_{i+1}]$  (см. [4]) в виде

$$\begin{aligned} s(x) &= (1-t)^2(1+2t)f_i + t^2(3-2t)f_{i+1} + \\ &+ m_i ht(1-t)^2 - m_{i+1} ht^2(1-t), \end{aligned} \quad (33)$$

где обозначено  $m_j = S'(x_j)$ ,  $j=0, \dots, N$ . Наряду с  $S(x)$  рассмотрим кубический эрмитов сплайн  $H(x)$ , определяемый условиями  $H(x_i) = f_i$ ,  $H'(x_i) = f'_i$ ,  $i = 0, \dots, N$ . Имеем

$$H(x) = (1-t)^2(1+2t)f_i + t^2(3-2t)f_{i+1} + \\ + ht(1-t)^2f'_i - ht^2(1-t)f'_{i+1}, \quad x \in [x_i, x_{i+1}], \quad (34)$$

Сопоставляя (33) и (34), находим

$$S(x) = H(x) + ht(1-t)[q_i(1-t) - q_{i+1}t], \quad x \in [x_i, x_{i+1}], \quad (35)$$

где  $q_j = m_j - f'_j$ . Известно [4, с. 68], что

$$H(x) = f(x) + \phi(t)h^4 f''''(x) + \phi_H(t)h^5 f'''(x) + O(h^6), \quad (36)$$

$$x \in [x_i, x_{i+1}],$$

где  $\phi(t) = -u^2/24$ ,  $\phi_H(t) = -u^2(1-2t)/60$ ,  $u = t(1-t)$ . Таким образом, построение асимптотики для  $S(x)$  сводится к нахождению асимптотических представлений для величин  $m_i$ ,  $i = 0, \dots, N$ . Их вид определяется краевыми условиями кубического сплайна.

Дальнейшее изложение разбито на пункты, которые нумеруются в соответствии с рассматриваемым типом краевых условий. Рассуждения носят одинаковый характер для всех типов краевых условий и поэтому подробно излагаются лишь в случае краевых условий типа I.

I. Для условий типа I система относительно параметров  $m_i$  имеет вид [4, с. 98]:

$$\left. \begin{array}{l} m_0 = c_0, \\ m_{i-1} + 4m_i + m_{i+1} = c_i, \quad i = 1, \dots, N-1, \\ m_N = c_N, \end{array} \right\} \quad (37)$$

где  $c_0 = f'_0$ ,  $c_N = f'_N$ ,  $c_i = 3(f'_{i+1} - f'_{i-1})/h$ ,  $i = 1, \dots, N-1$ . Переходя к неизвестным  $q_i$ , получаем

$$\left. \begin{array}{l} q_0 = q_N = 0, \\ q_{i-1} + 4q_i + q_{i+1} = \tilde{c}_i = c_i - f'_{i-1} - 4f'_i - f'_{i+1}, \\ i = 1, \dots, N-1. \end{array} \right\}$$

Разлагая в выражении для величины  $f'_{i-1}, f'_{i+1}, f''_{i-1}, f''_{i+1}$  по формуле Тейлора в точке  $x_i$ , приходим к системе

$$\left. \begin{array}{l} 4q_0 = 0, \\ q_{i-1} + 4q_i + q_{i+1} = -h^4/30f_i^V + O(h^5), \quad i=1, \dots, N-1, \\ 4q_N = 0. \end{array} \right\}$$

Применяя к этой системе теорему 7 ( $k = 4, n = 5, p = 0$ ), имеем

$$q_i = \alpha_i h^4 f_i^V + O(h^5), \quad i = 0, 1, \dots, N, \quad (38)$$

где  $\alpha_i$  определяются из условий

$$\left. \begin{array}{l} 4\alpha_0 = 0, \\ \alpha_{i-1} + 4\alpha_i + \alpha_{i+1} = -1/30, \quad i = 1, \dots, N-1, \\ 4\alpha_N = 0. \end{array} \right\}$$

Согласно лемме 6 решение этой системы записывается по формуле (26), где следует положить  $a = 4, \sigma = -2 + \sqrt{3}, \alpha = \beta = 0, A = B = 0, C = -1/30$ . Следовательно,

$$\alpha_i = -\frac{1}{180} \left[ 1 - \frac{\sigma^i + \sigma^{N-i}}{1 + \sigma^N} \right], \quad i = 0, \dots, N,$$

и, учитывая (38), получаем

$$q_i = -\frac{h^4}{180} \left[ 1 - \frac{\sigma^i + \sigma^{N-i}}{1 + \sigma^N} \right] f_i^V + O(h^5), \quad i = 0, \dots, N. \quad (39)$$

Подставим выражения  $q_i, q_{i+1}$  в (35) и разложим  $f_i^V, f_{i+1}^V$  по формуле Тейлора в точке  $x$ , т.е.  $f_k^V = f^V(x) + O(h)$ ,  $k = i, i+1$ . Принимая во внимание (36), в итоге приходим к формуле (II) для  $s(x)$ , где

$$\phi_{iN}(t) = -\frac{u}{180} \left\{ (1-2t)(1+3u) - \frac{v\sigma^i + w\sigma^{N-i-1}}{1 + \sigma^N} \right\}, \quad i=0, \dots, N-1, \quad (40)$$

$$v = 1-t(1+\sigma), \quad w = \sigma-t(1+\sigma).$$

Так как  $|\sigma| = 2 - \sqrt{3} < 0.27$ , то из (40) видно, что при удалении от концов отрезка  $[a, b]$  (предполагается, что  $N$  достаточно

велико) слагаемое, содержащее  $\sigma^i$  и  $\sigma^{N-i}$  быстро стремится к нулю и в этом случае в (II) можно полагать

$$\phi_{1N}(t) = \phi(t) = -u(1-2t)(1+3u)/180.$$

Фактически, при больших  $N$  достаточно исследовать поведение  $\phi_{1N}$  вблизи одного из концов отрезка  $[a, b]$ , например, в окрестности точки  $a$ . Из соображений симметрии ясно, что точно такая же картина будет в окрестности точки  $b$ . Из (40) видно, что при большом  $N$  и  $i < N/2$  в (II) вместо  $\phi_{1N}(t)$  можно взять

$$\phi_{1\infty}(t) = -\frac{u}{180}[(1-2t)(1+3u) - v\sigma^i]. \quad (41)$$

Нетрудно получить оценку

$$|\phi_{1N}(t) - \phi_{1\infty}(t)| < |\sigma|^{N-i-1}/720 < |\sigma|^{N/2}/720, \quad i < N/2,$$

из которой видно, что при  $N > 10$  функции  $\phi_{1N}$  и  $\phi_{1\infty}$  практически совпадают между собой.

П. Система для  $m_i$  [4, с. 98]:

$$\left. \begin{array}{l} 4m_0 + 2m_1 = c_0, \\ m_{i-1} + 4m_i + m_{i+1} = c_i, \quad i=1, \dots, N-1, \\ 2m_{N-1} + 4m_N = c_N, \end{array} \right\} \quad (42)$$

где  $c_0 = 6(f_1 - f_0)/h - hf_0^n$ ,  $c_N = 6(f_N - f_{N-1})/h + hf_N^n$ . Отсюда для  $q_i$  получаем систему

$$\left. \begin{array}{l} 4q_0 + 2q_1 = -h^3/12 f_0^{IV} + O(h^4), \\ q_{i-1} + 4q_i + q_{i+1} = O(h^4), \quad i=1, \dots, N-1, \\ 2q_{N-1} + 4q_N = h^3/12 f_N^{IV} + O(h^4). \end{array} \right\}$$

В результате применения теоремы 7 и леммы 6 находим

$$q_i = -\frac{h^3}{24f^3} \cdot \frac{\sigma^i - \sigma^{N-i}}{1+3\sigma^N} f_i^{IV} + O(h^4), \quad i=0, 1, \dots, N.$$

После подстановки  $q_i$  в (35) получаем формулу (9), где

$$\varphi_{iN}(t) = -\frac{u}{24} \left[ u + \frac{v\sigma^i - w\sigma^{N-i-1}}{\sqrt{3}(1+\sigma^N)} \right], \quad i=0, \dots, N-1,$$

или для больших  $N$  формулу (10), где

$$\varphi_{i\infty}(t) = -\frac{u}{24} \left[ u + \frac{\sqrt{3}}{3} v\sigma^i \right], \quad i < N/2. \quad (43)$$

Степень близости между функциями  $\varphi_{iN}(t)$  и  $\varphi_{i\infty}(t)$  характеризуется оценкой

$$|\varphi_{iN}(t) - \varphi_{i\infty}(t)| < \frac{|\sigma|^{N-i-1}}{96\sqrt{3}} < \frac{|\sigma|^{N/2}}{96\sqrt{3}}, \quad i < N/2.$$

III. Система для  $m_i$ :

$$\left. \begin{array}{l} m_0 + m_1 = c_0, \\ m_{i-1} + 4m_i + m_{i+1} = c_i, \quad i=1, 2, \dots, N-1, \\ m_{N-1} + m_N = c_N, \end{array} \right\} \quad (44)$$

где  $c_0 = 2(f_1 - f_0)/h + h^2 f_0'''/6$ ,  $c_N = 2(f_N - f_{N-1})/h + h^2 f_N'''/6$ .

Система для  $q_i$ :

$$\left. \begin{array}{l} 4q_0 + 4q_1 = -h^3/3 f_0^{IV} + O(h^4), \\ q_{i-1} + 4q_i + q_{i+1} = O(h^4), \quad i=1, \dots, N-1, \\ 4q_{N-1} + 4q_N = h^3/3 f_N^{IV} + O(h^4). \end{array} \right\}$$

Отсюда

$$q_i = -\frac{h^3}{12} \cdot \frac{\sigma^i - \sigma^{N-i}}{(1+\sigma)(1-\sigma^{N-1})} f_i^{IV} + O(h^4), \quad i=0, \dots, N.$$

В итоге имеем (9), где

$$\varphi_{iN}(t) = -\frac{u}{24} \left[ u + (1+\sqrt{3}) \frac{v\sigma^i - w\sigma^{N-i-1}}{1-\sigma^{N-1}} \right], \quad i=0, \dots, N-1.$$

Кроме того,

$$\varphi_{i\infty}(t) = -\frac{u}{24} [u + (1+\sqrt{3})v\sigma^i], \quad i < N/2. \quad (45)$$

Погрешность приближения для сплайнов с граничными условиями I-III характеризуется функциями  $\Phi_{iN}(t)$  в (9) или, что практически то же самое, функциями  $\Phi_{i\infty}(t)$ . На рис. I приведены графики функций  $-384 \Phi_{i\infty}(t)$ ,  $i = 0, 1, 2, 3$ , для этих краевых условий (для условий типа I  $\Phi_{i\infty}(t) = \Phi_{iN}(t) = \Phi(t)$ , для условий типов II, III функции  $\Phi_{i\infty}(t)$  определены соответственно формулами (43), (45)). График функции  $-384 \Phi_{0\infty}(t)$  для условий типа III выходит за рамки рис. I. В табл. I

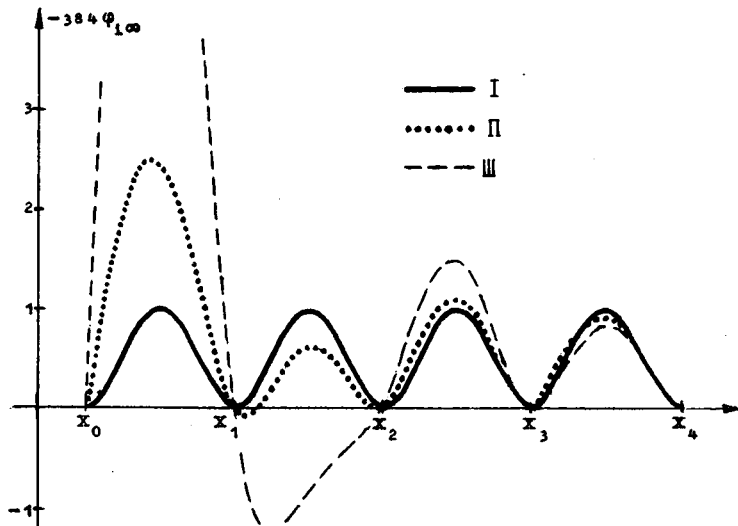


Рис. I

Т а б л и ц а I

Тип краевых условий	$384 \ \Phi_{i\infty}\ _C$			
	$i = 0$	$i = 1$	$i = 2$	$i = 3$
I	1.0	1.0	1.0	1.0
II	2.51	0.62	1.11	0.97
III	8.34	1.23	1.51	0.87
IV	15.45	5.29	0.53	1.30
V	14.83	5.13	0.50	1.28
VI	13.99	4.90	0.46	1.27
VII	10.85	4.07	0.30	1.21

даны значения величин  $\|\varphi_{i\infty}\|_C = \|\varphi_{i\infty}(t)\|_{C[0,1]}$ ,  $i = 0, 1, 2, 3$ , которые можно интерпретировать как постоянные  $K_{i\infty}$  в асимптотических оценках

$$|S(x) - f(x)| \leq h^4 K_{i\infty} \|f^{IV}\|_\infty + O(h^5), \quad x \in [x_i, x_{i+1}].$$

Из рис. I и табл. I наглядно видно, что граничные условия типа I существенно эффективнее условий II и особенно III с точки зрения точности приближения.

I'. Система для  $q_i$  получается из (37), где следует положить

$$c_0 = L'_0(x_0) = (-11f_0 + 18f_1 - 9f_2 + 2f_3)/(6h),$$

$$c_N = L'_{N-3}(x_N) = (-2f_{N-3} + 9f_{N-2} - 18f_{N-1} + 11f_N)/(6h).$$

Тогда

$$\left. \begin{aligned} 4q_0 &= h^3 f_0^{IV} + O(h^4), \\ q_{i-1} + 4q_i + q_{i+1} &= O(h^4), \quad i=1, \dots, N-1, \\ 4q_N &= -h^3 f_N^{IV} + O(h^4). \end{aligned} \right\}$$

Отсюда

$$q_i = h^3 \frac{\sigma^i - \sigma^{N-i}}{4(1-\sigma^N)} f_i^{IV} + O(h^4), \quad i=0, 1, \dots, N,$$

и в формулах (9) и (10) соответственно

$$\varphi_{iN}(t) = -\frac{u}{24} \left[ u - \frac{6}{1-\sigma^N} (\nu \sigma^i - \nu \sigma^{N-i-1}) \right], \quad i=0, \dots, N-1;$$

$$\varphi_{i\infty}(t) = -u(u - 6\nu\sigma^i)/24, \quad i < N/2.$$

II'. Система для  $q_i$  вытекает из (42), где нужно положить

$$c_0 = 6(f_1 - f_0)/h - hL''_0(x_0) = (-8f_0 + 11f_1 - 4f_2 + f_3)/h,$$

$$c_N = 6(f_N - f_{N-1})/h + hL''_{N-3}(x_N) = (8f_N - 11f_{N-1} + 4f_{N-2} - f_{N-3})/h.$$

Тогда

$$\left. \begin{aligned} 4q_0 + 2q_1 &= 5h^3/6 f_0^{IV} + O(h^4), \\ \end{aligned} \right\}$$

$$\left. \begin{aligned} q_{i-1} + 4q_i + q_{i+1} &= O(h^4), \quad i=1, \dots, N-1, \\ 2q_{N-1} + 4q_N &= -5h^3/6 f_N^{IV} + O(h^4). \end{aligned} \right\}$$

Отсюда

$$q_i = \frac{10h^3}{24\sqrt{3}} \cdot \frac{\sigma^i - \sigma^{N-i}}{1+\sigma^N} f_i^{IV} + O(h^4), \quad i=0, \dots, N,$$

и далее

$$q_{iN}(t) = -\frac{u}{24} \left[ u - \frac{10\sqrt{3}}{3(1+\sigma^N)} (v\sigma^i - w\sigma^{N-i-1}) \right], \quad i=0, \dots, N-1;$$

$$q_{i\infty}(t) = -\frac{u}{24} (u - 10\sqrt{3}v\sigma^i/3), \quad i < N/2.$$

III. Система для  $q_i$  вытекает из (44), где нужно положить  
 $c_0 = 2(f_1 - f_0)/h + h^2 L''_0(x_0)/6 = (-13f_0 + 15f_1 - 3f_2 + f_3)/(6h)$

$$\begin{aligned} c_N &= 2(f_N - f_{N-1})/h + h^2 L''_{N-3}(x_N)/6 = \\ &= (13f_N - 15f_{N-1} + 3f_{N-2} - f_{N-3})/(6h). \end{aligned}$$

Тогда

$$\left. \begin{aligned} 4q_0 + 4q_1 &= 2h^3/3f_0^{IV} + O(h^4), \\ q_{i-1} + 4q_i + q_{i+1} &= O(h^4), \quad i=1, \dots, N-1, \\ 4q_{N-1} + 4q_N &= -2h^3/3f_N^{IV} + O(h^4). \end{aligned} \right\}$$

Отсюда

$$q_i = \frac{h^3}{6} \cdot \frac{\sigma^i - \sigma^{N-i}}{(1+\sigma)(1-\sigma^{N-1})} f_i^{IV} + O(h^4), \quad i=0, \dots, N;$$

и далее

$$q_{iN}(t) = -\frac{u}{24} \left[ u - \frac{4(v\sigma^i - w\sigma^{N-i-1})}{(1+\sigma)(1-\sigma^{N-1})} \right], \quad i=0, \dots, N-1;$$

$$q_{i\infty}(t) = -\frac{u}{24} \left( u - \frac{4v\sigma^i}{1+\sigma} \right), \quad i < N/2.$$

IV. Система для  $m_1$ , приведенная в [4], имеет вид:

$$\left. \begin{array}{l} m_0 - m_2 = -2(f_0 - 2f_1 + f_2)/h, \\ m_{i-1} + 4m_i + m_{i+1} = c_i, \quad i=1, \dots, N-1, \\ -m_{N-2} + m_N = 2(f_N - 2f_{N-1} + f_{N-2})/h. \end{array} \right\}$$

Исключая из первого уравнения неизвестное  $m_2$ , а из последнего  $m_{N-2}$ , имеем

$$\left. \begin{array}{l} 2m_0 + 4m_1 = (-5f_0 + 7f_1 - 2f_2)/h, \\ m_{i-1} + 4m_i + m_{i+1} = c_i, \quad i=1, 2, \dots, N-1, \\ 4m_{N-1} + 2m_N = (5f_N - 7f_{N-1} + 2f_{N-2})/h. \end{array} \right\}$$

Отсюда находим

$$\left. \begin{array}{l} 4q_0 + 8q_1 = h^3/3f_0^{IV} + O(h^4), \\ q_{i-1} + 4q_i + q_{i+1} = O(h^4), \quad i=1, \dots, N-1, \\ 8q_{N-1} + 4q_N = -h^3/3f_N^{IV} + O(h^4). \end{array} \right\}$$

Откуда получаем

$$q_i = \frac{(2+\sqrt{3})h^3}{12\sqrt{3}} \cdot \frac{\sigma^i - \sigma^{N-i}}{1 + \sigma^{N-2}} f_i^{IV} + O(h^4), \quad i=0, \dots, N.$$

В итоге

$$\phi_{iN}(t) = -\frac{u}{24} \left[ u - \frac{2(2+\sqrt{3})}{\sqrt{3}(1+\sigma^{N-2})} (v\sigma^i - w\sigma^{N-i-1}) \right], \quad i=0, \dots, N-1,$$

$$\phi_{i\infty}(t) = -\frac{u}{24} \left( u + \frac{2}{\sqrt{3}} v\sigma^{i-1} \right), \quad i < N/2.$$

Графики функций 384  $\phi_{i\infty}(t)$ ,  $i = 0, 1, 2, 3$ , для граничных условий I'-III', IV, представленные на рис.2, а также приведенные в табл. I значения  $\|\phi_{i\infty}\|_0$  позволяют утверждать, что лучшими среди этих граничных условий являются условия типа IV.

П0. Система для  $m_1$  получается из (42) при  $c_0 = 6(f_1 - f_0)/h$ ,  $c_N = 6(f_N - f_{N-1})/h$ . Тогда

$$\left. \begin{aligned} 4q_0 + 2q_1 &= hf''_0 + O(h^3), \\ q_{i-1} + 4q_i + q_{i+1} &= O(h^3), \quad i=1, \dots, N-1, \\ 2q_{N-1} + 4q_N &= -hf''_N + O(h^3). \end{aligned} \right\}$$

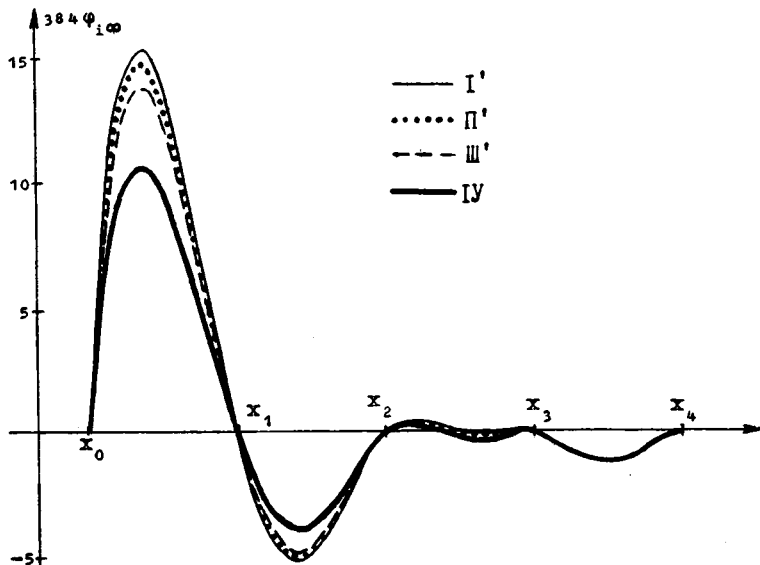


Рис. 2

В соответствии с теоремой 7

$$q_i = \alpha_i hf''_i + \beta_i h^2 f'''_i + O(h^3), \quad i=0, \dots, N. \quad (46)$$

Коэффициенты  $\alpha_i$  легко находятся с помощью леммы 6

$$\alpha_i = \frac{\sigma^i - \sigma^{N-i}}{2\sqrt{3}(1+\sigma^N)}, \quad i=0, \dots, N.$$

Это позволяет получить выражения для функций  $v_{iN}$  в формуле (12)

$$v_{iN}(t) = \frac{u(v\sigma^i - w\sigma^{N-i-1})}{2\sqrt{3}(1+\sigma^N)}, \quad i=0, \dots, N-1; \quad v_{i\infty}(t) = \frac{uv\sigma^i}{2\sqrt{3}}, \quad i < N/2.$$

Существенно сложнее обстоит дело с вычислением величин  $\beta_i$  в (46). Согласно теореме 7 они удовлетворяют системе

$$\left. \begin{array}{l} 4\beta_0 + 2\beta_1 = d_0, \\ \beta_{i-1} + 4\beta_i + \beta_{i+1} = d_i, \quad i=1, \dots, N-1, \\ 2\beta_{N-1} + 4\beta_N = d_N, \end{array} \right\} \quad (47)$$

где

$$d_0 = d_N = -\frac{\sigma - \sigma^{N-1}}{\sqrt{3}(1+\sigma^N)}, \quad d_i = -\frac{\sigma^i + \sigma^{N-i}}{1 + \sigma^N}, \quad i=1, \dots, N-1.$$

Однако ее решение нельзя найти с помощью леммы 6 и поэтому мы вынуждены привлекать общую формулу

$$\beta_i = \sum_{j=0}^N a_{ij} d_j, \quad i=0, \dots, N,$$

где  $a_{ij}$  – элементы матрицы, обратной к матрице системы (47). Их явные выражения имеются в § I. После довольно громоздких выкладок получаем

$$\begin{aligned} \beta_i = & -\frac{1}{6(1-\sigma^{2N})} \left\{ (\sigma - \sigma^{N-1})(\sigma^i + \sigma^{N-i}) + \right. \\ & + \frac{\sigma^i(1+\sigma^{2N-2i})}{1+\sigma^N} [\sqrt{3}\sigma(1+\sigma^N) - \sigma(1-\sigma^{2i})(1+\sigma^{N-2i-2})/2] + \\ & \left. + \frac{\sigma^{N-1}(1+\sigma^{2i})}{1+\sigma^N} [\sqrt{3}(N-i-1)(1+\sigma^N) - \sigma(1-\sigma^{2N-2i-2})(1+\sigma^{2i-N})/2] \right\}. \end{aligned}$$

На наш взгляд эти формулы не представляют практической пользы и мы не будем выводить на их основе выражения для функций  $\eta_{1N}(t)$  в (12). Мы остановились подробно на выводе формул  $\beta_i$  лишь для того, чтобы продемонстрировать те трудности, с которыми приходится сталкиваться при попытке получения более одного члена в асимптотическом представлении для  $S(x)$ .

При больших  $N$  коэффициенты  $\beta_i$  можно заменить на  $\beta_{i\infty} = \lim_{N \rightarrow \infty} \beta_i$ , которые очень просты. Имеем  $\beta_{i\infty} = -i\sigma^i/(2\sqrt{3})$ ,  $i < N/2$ . Теперь нетрудно получить

$$\eta_{1\infty}(t) = -\frac{u\sigma^4}{2\sqrt{3}} [u(1+\sigma) + iv - \sigma t], \quad i < N/2.$$

Как видно из формулы (I2), сплайн с "естественными" краевыми условиями типа  $\Pi^0$  дает невысокую точность приближения. Во-первых, порядок приближения равен  $O(h^2)$  вместо оптимального  $O(h^4)$ . Во-вторых, нетрудно вычислить:  $8\|\nu_{0,\infty}\|_C = 0.39$ ,  $8\|\nu_{1,\infty}\|_C = 0.11$ ,  $8\|\nu_{2,\infty}\|_C = 0.03$ ,  $8\|\nu_{3,\infty}\|_C = 0.008$  и, следовательно, на крайних интервалах  $[x_0, x_1], [x_1, x_2]$  точность приближения кубическим сплайном с условиями  $\Pi^0$  сравнима с точностью обычной линейной интерполяции. Вместе с тем отметим, что отрицательное воздействие краевых условий типа  $\Pi^0$  быстро затухает по мере удаления от концов отрезка  $[a, b]$ .

$\mathbb{W}^0$ . Система для  $\eta_1$  вытекает из (44), если положить

$$c_0 = 2(f_1 - f_0)/h, \quad c_N = 2(f_N - f_{N-1})/h.$$

Тогда

$$\left. \begin{aligned} 4q_0 + 4q_1 &= -2h^2/3 f''_0 + O(h^3), \\ q_{i-1} + 4q_i + q_{i+1} &= O(h^3), \quad i=1, \dots, N-1, \\ 4q_{N-1} + 4q_N &= -2h^2/3 f''_N + O(h^3). \end{aligned} \right\}$$

Отсюда

$$q_i = -\frac{h^2}{6} \cdot \frac{\sigma^4 + \sigma^{N-i}}{(1+\sigma)(1+\sigma^{N-i})} f''_i + O(h^3), \quad i=0, \dots, N,$$

и, следовательно, в формуле (I2)

$$\eta_{iN}(t) = -\frac{u(v\sigma^i + w\sigma^{N-i-1})}{6(1+\sigma)(1+\sigma^{N-i})}, \quad i=0, \dots, N-1; \quad \eta_{1\infty}(t) = -\frac{uv\sigma^4(\sqrt{3}+1)}{12}.$$

Таким образом, точность приближения для сплайна с граничными условиями  $\mathbb{W}^0$  равна  $O(h^3)$ , т.е. она выше, чем у сплайна с граничными условиями  $\Pi^0$ , но оптимальный порядок точности  $O(h^4)$  не достигается. Для полноты приведем значения:  $48\|\eta_{0\infty}\|_C = 1.86$ ,  $48\|\eta_{1\infty}\|_C = 0.50$ ,  $48\|\eta_{2\infty}\|_C = 0.13$ ,  $48\|\eta_{3\infty}\|_C = 0.036$ .

I". Система для  $m_1$  получается из (37), где следует положить

$$c_0 = \tilde{L}_0^4(x_0) = (-25f_0 + 48f_1 - 36f_2 + 16f_3 - 3f_4)/(12h),$$

$$c_N = \tilde{L}_{N-4}^4(x_N) = (3f_{N-4} - 16f_{N-3} + 36f_{N-2} - 48f_{N-1} + 25f_N)/(12h).$$

Тогда имеем

$$\left. \begin{aligned} 4q_0 &= -4h^4/5f_0^V + O(h^5), \\ q_{i-1} + 4q_i + q_{i+1} &= -h^4/30f_i^V + O(h^5), \quad i=1, \dots, N-1, \\ 4q_N &= -4h^4/5f_N^V + O(h^5). \end{aligned} \right\}$$

Отсюда

$$q_i = -\frac{h^4}{180} \left[ 1 + \frac{35(\sigma^i + \sigma^{N-i})}{1 + \sigma^N} \right] f_i^V + O(h^5), \quad i=0, \dots, N,$$

что позволяет получить для сплайна с граничными условиями I" соотношение (II), где

$$\phi_{1N}(t) = -\frac{u}{180} \left[ (1-2t)(1+3u) + \frac{35(v\sigma^i + w\sigma^{N-i-1})}{1 + \sigma^N} \right], \quad (48)$$

$$i=0, \dots, N-1,$$

$$\phi_{1\infty}(t) = -u[(1-2t)(1+3u) + 35v\sigma^i]/180, \quad i < N/2. \quad (49)$$

V. Система для  $m_1$  имеет вид:

$$\left. \begin{aligned} m_0 + 3m_1 &= (-17f_0 + 9f_1 + 9f_2 - f_3)/(6h), \\ m_{i-1} + 4m_i + m_{i+1} &= c_i, \quad i=1, \dots, N-1, \\ 3m_{N-1} + m_N &= (f_{N-3} - 9f_{N-2} - 9f_{N-1} + 17f_N)/(6h). \end{aligned} \right\}$$

Отсюда получаем систему

$$\left. \begin{aligned} 4q_0 + 12q_1 &= -h^4/5f_0^V + O(h^5), \\ q_{i-1} + 4q_i + q_{i+1} &= -h^4/30f_i^V + O(h^5), \quad i=1, \dots, N-1, \\ 12q_{N-1} + 4q_N &= -h^4/5f_N^V + O(h^5), \end{aligned} \right\}$$

решение которой записывается в виде:

$$q_i = -\frac{h^4}{180} \left[ 1 - \frac{5(\sigma^i + \sigma^{N-i})}{\sigma(1+\sigma)(1+\sigma^{N-3})} \right] f_i^V + O(h^5), \quad i=0, \dots, N.$$

В результате для сплайна с краевыми условиями V справедливо равенство (II), где

$$\psi_{iN}^{(t)} = -\frac{u}{180} \left[ (1-2t)(1+3u) - \frac{5(v\sigma^i + w\sigma^{N-i-1})}{\sigma(1+\sigma)(1+\sigma^{N-3})} \right], \quad i=0, \dots, N-1, \quad (50)$$

$$\psi_{i\infty}(t) = -\frac{u}{180} [(1-2t)(1+3u) - 5v\sigma^{i-1}/(1+\sigma)], \quad i < N/2. \quad (51)$$

Таким образом, сплайны с граничными условиями типов I'', V и I имеют один и тот же главный член погрешности и поэтому при больших N, когда влияние второго члена асимптотики незначительно, все эти сплайны дают одинаковую точность приближения. Отсюда очевидна практическая ценность условий I'' и V, так как они не требуют задания производных функции  $f(x)$ . Сравнивая между собой выражения (48), (49) и (50), (51), нетрудно заметить, что для сплайнов с граничными условиями I'', V вторые члены асимптотики при всех  $N \geq 4$  мало различаются и, следовательно, эти условия практически эквивалентны с точки зрения точности приближения.

В заключение приведем один тип краевых условий, при которых имеет место (6). Они записываются в виде:

$$4m_0 + 14m_1 = (-71f_0 + 26f_1 + 54f_2 - 10f_3 + f_4)/(6h),$$

$$14m_{N-1} + 4m_N = (71f_N - 26f_{N-1} - 54f_{N-2} + 10f_{N-3} - f_{N-4})/(6h).$$

При этих условиях  $q_i = -h^4 f_i^V / 180 + O(h^5)$ ,  $i = 0, \dots, N$ , что вместе с (35), (36) влечет (6).

### Л и т е р а т у р а

1. МИРОШНИЧЕНКО В.Л. О погрешности приближения кубическими интерполяционными сплайнами. I. - В кн.: Методы сплайн-функций (Вычислительные системы, вып. 93). Новосибирск, 1982, с. 3-29.

2. МИРОШНИЧЕНКО В.Л. О погрешности приближения кубическими интерполяционными сплайнами. II. - В кн.: Методы сплайн-функций в численном анализе (Вычислительные системы, вып. 98). Новосибирск, 1983, с. 51-66.

3. HALL C.A., MEYER W.W. Optimal error bounds for cubic spline interpolation. - J. Approxim. Theory, 1976, v. 16, N 2, p. 105-121.
4. ЗАВЬЯЛОВ Ю.С., КВАСОВ Б.И., МИРОШНИЧЕНКО В.Л. Методы сплайн-функций. - М.: Наука, 1980. - 352 с.
5. МИРОШНИЧЕНКО В.Л. О погрешности приближения многочленами Лагранжа третьей степени. - В кн.: Приближение сплайнами (Вычислительные системы, вып. 106). Новосибирск, 1984, с. 3-24.
6. КИНДАЛЕВ Б.С. О точности приближения периодическими интерполяционными сплайнами нечетной степени. - В кн.: Методы сплайн-функций в численном анализе (Вычислительные системы, вып. 98). Новосибирск, 1983, с. 67-82.
7. KINDALEV B.S. Asymptotics of error for interpolating splines of even degree. - In: Constructive theory of functions. Sofia, 1984, p. 445-450.
8. LUCAS T. Error bounds for interpolating cubic splines under various end conditions. - SIAM J. Numer. Anal., 1974, v. 11, N 3, p. 569-584.
9. МИРОШНИЧЕНКО В.Л. Некоторые свойства трехдиагональных матриц и их применение теории кубической сплайн-интерполяции. - В кн.: Методы сплайн-функций (Вычислительные системы, вып. 65). Новосибирск, 1975, с. 29-49.
10. АЛЬБЕРГ Дж., НИЛЬСОН Э., УОЛШ Дж. Теория сплайнов и ее приложения. - М.: Мир, 1972. - 316 с.
11. ФОРСАЙТ Дж., МАЛЬКОЛЬМ М., МОУЛЕР К.М. Машины методы математических вычислений. - М.: Мир, 1980. - 279 с.
12. BEHFOROOZ G.H., PAPAMICHAEL N. End conditions for cubic spline interpolation. - J. Inst. Math. Applic., 1979, v. 23, p. 355-366.
13. СТЕЧКИН С.Б., СУББОТИН Ю.Н. Сплайны в вычислительной математике. - М.: Наука, 1976. - 248 с.

Поступила в ред.-изд.отд.  
2 августа 1985 года